

УДК 539.27:544.18:547.556.93

**КРИСТАЛЛИЧЕСКАЯ СТРУКТУРА
БИС-ИЗОНИКОТИНОИЛГИДРАЗОНА 2,5-ДИФОРМИЛПИРРОЛА**

Л.Д. Попов¹, С.И. Левченков², И.Н. Щербаков¹, М.А. Кискин³, Н.Е. Борисова⁴,
А.А. Цатуриян¹, В.А. Коган¹

¹Южный федеральный университет, Ростов-на-Дону

E-mail: physchem@yandex.ru

²Южный научный центр РАН, Ростов-на-Дону

³Институт общей и неорганической химии им. Н.С. Курнакова РАН, Москва

⁴Московский государственный университет им. М.В. Ломоносова

Статья поступила 23 мая 2012 г.

Синтезирован и структурно охарактеризован бис-изоникотиноилгидразон 2,5-диформилпиррола, существующий в кристалле в виде тетрагидрата гидразонной таутомерной формы. В кристалле молекулы гидразона образуют бесконечную трехмерную сеть водородных связей. Соседние молекулы гидразона связаны межмолекулярными π-стекинг-взаимодействиями. Выполнен квантово-химический расчет геометрии и полной энергии возможных таутомеров в вакууме и в водном растворе.

Ключевые слова: гидразоны, рентгеноструктурный анализ, водородная связь, теория функционала плотности.

Бис-гидразоны дикарбонильных соединений представляют интерес прежде всего благодаря их высокой комплексообразующей способности [1, 2], а также разнообразной биологической активности [3—5]. Ранее был синтезирован и изучен широкий ряд гидразонов 2-формилпиррола [6—9], в то время как данные о бис-гидразонах 2,5-диформилпиррола крайне немногочисленны [10]. В настоящей работе представлены данные рентгеноструктурного исследования и квантово-химического моделирования бис-изоникотиноилгидразона 2,6-диформилпиррола.

ЭКСПЕРИМЕНТАЛЬНАЯ ЧАСТЬ

Бис-изоникотиноилгидразон 2,5-диформилпиррола (1) был синтезирован следующим образом. К раствору 0,002 моля 2,5-диформилпиррола [11] в 15 мл этанола добавляли 0,004 моля изоникотиноилгидразина и кипятили с обратным холодильником 3 ч. Осадок отфильтровывали и перекристаллизовывали из ДМФА. Выход 65 %. $T_{пл} = 220$ °C. Монокристаллы для РСА получали кристаллизацией из смеси вода—ДМФА.

Элементный анализ: брутто-формула $C_{18}H_{15}N_7O_2$; вычислено (%): C 59,8, H 4,18, N 27,1; найдено (%): C 59,1, H 4,29, N 27,8.

ИК спектр (Varian Scimitar 1000 FT-IR, KBr, ν , cm^{-1}): 3457, 3209 (NH), 1646 (C=O), 1610, 1601 (C=N).

ЯМР ^1H (Varian Unity 300, ДМСО- d_6 , δ , м.д., J , Гц): 6,64 (д, 2H, $J = 1,9$, CH_{пиррол}); 7,81 (д, 4H, $J = 5,8$, CH_{пирдин}); 8,37 (с, 2H, CH_{азометиновый}); 8,70 (д, 4H, $J = 5,8$, CH_{пирдин}); 11,80 (с, 2H, NH_{гидразидный}); 12,03 (с, 1H, NH_{пиррольный}).

Таблица 1

Избранные межатомные расстояния (\AA) и валентные углы (град.) в структуре тетрагидрата соединения 1

Связь	<i>d</i>	Связь	<i>d</i>	Связь	<i>d</i>
Угол	ω	Угол	ω	Угол	ω
N(1)–C(1)	1,328(2)	N(4)–C(8)	1,365(2)	N(7)–C(16)	1,328(2)
N(1)–C(5)	1,333(2)	N(4)–C(11)	1,364(2)	N(7)–C(17)	1,331(2)
N(2)–N(3)	1,385(2)	N(5)–N(6)	1,376(2)	O(2)–C(6)	1,231(2)
N(2)–C(6)	1,336(2)	N(5)–C(12)	1,278(2)	O(2)–C(13)	1,228(2)
N(3)–C(7)	1,273(2)	N(6)–C(13)	1,342(2)		
C(2)–N(1)–C(5)	117,0(1)	N(3)–C(7)–C(8)	120,6(1)	O(2)–C(13)–C(14)	120,9(1)
N(2)–C(6)–C(3)	115,8(1)	N(4)–C(8)–C(7)	122,2(1)	N(5)–N(6)–C(13)	118,2(1)
N(2)–C(6)–O(1)	123,4(1)	C(8)–N(4)–C(11)	109,4(1)	N(6)–N(5)–C(12)	116,6(1)
O(1)–C(6)–C(3)	120,8(1)	C(16)–N(7)–C(17)	116,5(2)	N(5)–C(12)–C(11)	119,9(1)
N(3)–N(2)–C(6)	118,5(1)	N(6)–C(13)–C(14)	115,2(1)	N(4)–C(11)–C(12)	121,5(1)
N(2)–N(3)–C(7)	116,0(1)	N(6)–C(13)–O(2)	123,9(1)		

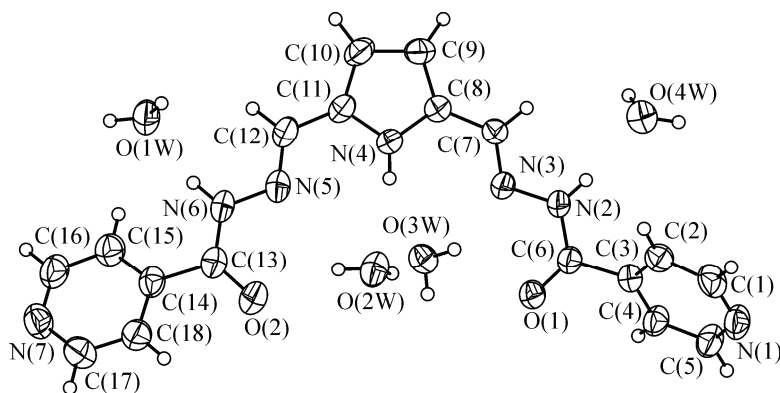
РЕНТГЕНОСТРУКТУРНОЕ ИССЛЕДОВАНИЕ

Кристалл тетрагидрата гидразона **1** (CCDC 878531) желтого цвета и призматического габитуса размером $0,50 \times 0,35 \times 0,26$ мм ($\text{C}_{18}\text{H}_{23}\text{N}_7\text{O}_6$, $M = 433,43$) моноклинный, пространственная группа $P2_1/c$, при $T = 296$ К: $a = 10,234(2)$, $b = 8,6712(17)$, $c = 23,749(5)$ \AA , $\beta = 97,348(4)^\circ$, $V = 2090,2(7)$ \AA^3 , $Z = 4$, $d_{\text{выч}} = 1,377$ г/ см^3 , $F(000) = 912$, $\mu = 0,106$ мм^{-1} . Параметры элементарной ячейки и интенсивности 14607 отражений ($R_{\text{int}} = 0,0315$) измерены на дифрактометре Bruker Apex II [12], оборудованном CCD-детектором ($T = 296$ К, MoK_{α} -излучение, графитовый монохроматор, ω -сканирование, $\theta_{\text{max}} = 28,87^\circ$). Поглощение рентгеновского излучения учтено полуэмпирически ($T_{\text{min}}/T_{\text{max}} = 0,9489/0,9730$) с помощью программы SADABS [13]. Структура определена прямым методом и уточнена полноматричным МНК в анизотропном приближении для неводородных атомов по F_{hkl}^2 . Атомы водорода помещали в геометрически рассчитанные положения и уточняли с использованием модели наездника ($U_{\text{изо}}(\text{H}) = 1,2U_{\text{экв}}(\text{C})$ для всех групп). Окончательные факторы расходимости $R_1 = 0,0455$ и $wR_2 = 0,1143$ для 3515 независимых отражений с $I > 2\sigma(I)$, $R_1 = 0,0764$ и $wR_2 = 0,1288$ для всех 5467 независимых отражений, 304 уточняемых параметра, GOOF = 1,037. Все расчеты проведены с использованием комплекса программ SHELX-97 [14]. Основные длины связей и углы в структуре соединения приведены в табл. 1.

Квантово-химические расчеты электронного и пространственного строения соединения **1** были проведены с помощью программы Gaussian'03 [15] в рамках теории функционала плотности (DFT). Применили гибридный обменно-корреляционный функционал B3LYP [16] с обменной частью в форме, предложенной в работе Бекке [17], и корреляционной частью Ли—Янга—Парра [18]. В качестве базисного набора использовали валентно-расщепленный базис 6-311+G(*d,p*). Оптимизацию геометрии и расчет полной энергии в водном растворе проводили в рамках модели непрерывной поляризуемой среды (PCM) [19, 20] с использованием стандартных параметров, принятых в программе Gaussian'03. Для подготовки данных, презентационной графики, визуализации результатов расчетов использовали программу ChemCraft [21].

РЕЗУЛЬТАТЫ И ИХ ОБСУЖДЕНИЕ

Соединение **1** кристаллизуется из смеси вода—ДМФА в виде тетрагидрата гидразонной таутомерной формы. Молекула гидразона **1** неплоская (рис. 1); пиридиновые кольца



$C(5)C(4)C(3)C(2)C(1)N(1)$ и $C(16)C(15)C(14)C(18)C(17)N(7)$ развернуты относительно плоскости пиррольного цикла на $57,42$ и $30,21^\circ$ соответственно.

В кристалле гидразонная таутомерная форма дополнительно стабилизирована за счет водородных связей атомов N(3) и O(1) с атомом H(3WA) и атомов N(5) и O(2) — с атомом H(2WA) соответственно (характеристики водородных связей приведены в табл. 2). Гидразонные атомы водорода H(6A) и H(2B) образуют водородные связи с атомами O(1W) и O(4W) соответственно. Атом H(3WB) связан с атомом O(1)ⁱ другой молекулы гидразона (i: $-x, -y, -z$), а атомы H(1WA) и H(4WA) — с пиридиновыми атомами азота N(1)ⁱⁱ (ii: $-1+x, 1/2-y, 1/2+z$) и N(7)ⁱⁱⁱ (iii: $1+x, 1/2-y, -1/2+z$), что приводит к формированию бесконечной трехмерной сети водородных связей, включающей различно ориентированные молекулы гидразона **1** (рис. 2). В кристалле между соседними молекулами комплексов наблюдаются также π -стекинг-взаимодействия; расстояния между среднеквадратичными плоскостями пиридиновых циклов $C(5)C(4)C(3)C(2)C(1)N(1)$ двух соседних молекул равны $3,472 \text{ \AA}$.

Поскольку таутомерные равновесия в молекулах гидразонов существенно влияют на их комплексообразующую способность [22, 23], был выполнен квантово-химический расчет гео-

Рис. 1. Строение тетрагидрата гидразона **1** (эллипсоиды тепловых колебаний приведены с вероятностью 50 %)

Таблица 2

Характеристики межмолекулярных водородных связей в кристалле тетрагидрата соединения **1**

D—H...A	D—H, Å	H...A, Å	D...A, Å	$\angle DHA$, град.
O(3W)—H(3WB)...O(1) ⁱ	0,863(14)	1,908(14)	2,7684(17)	175(2)
N(6)—H(6A)...O(1W)	0,861(1)	2,00(2)	2,7982(19)	154(2)
O(1W)—H(1WA)...N(1) ⁱⁱ	0,854(15)	1,968(16)	2,8127(19)	170(2)
O(4W)—H(4WA)...N(7) ⁱⁱⁱ	0,859(16)	2,022(16)	2,869(2)	168,4(16)
O(1W)—H(1WB)...O(2W) ^{iv}	0,858(14)	1,918(13)	2,7705(19)	171,8(18)
N(2)—H(2B)...O(4W)	0,861(1)	2,06(2)	2,8505(18)	152(2)
O(2W)—H(2WA)...O(2)	0,849(17)	2,133(18)	2,9511(18)	162(2)
O(2W)—H(2WA)...N(5)	0,849(17)	2,47(2)	3,0524(19)	127(2)
O(2W)—H(2WB)...O(3W)	0,858(10)	1,983(13)	2,8091(18)	161(2)
N(4)—H(4B)...O(2W)	0,860(1)	2,28(2)	3,1005(19)	159(2)
O(3W)—H(3WA)...O(1)	0,858(14)	2,297(15)	2,9751(17)	136,0(15)
O(3W)—H(3WA)...N(3)	0,858(14)	2,245(15)	3,0148(18)	149,3(17)
O(4W)—H(4WB)...O(3W) ^v	0,842(16)	2,294(16)	3,0735(18)	154,0(17)

Кристаллографические положения: ⁱ $-x, -y, -z$; ⁱⁱ $-1+x, 1/2-y, 1/2+z$; ⁱⁱⁱ $1+x, 1/2-y, -1/2+z$; ^{iv} $-x, 1/2+y, 1/2-z$; ^v $-x, 1-y, -z$.

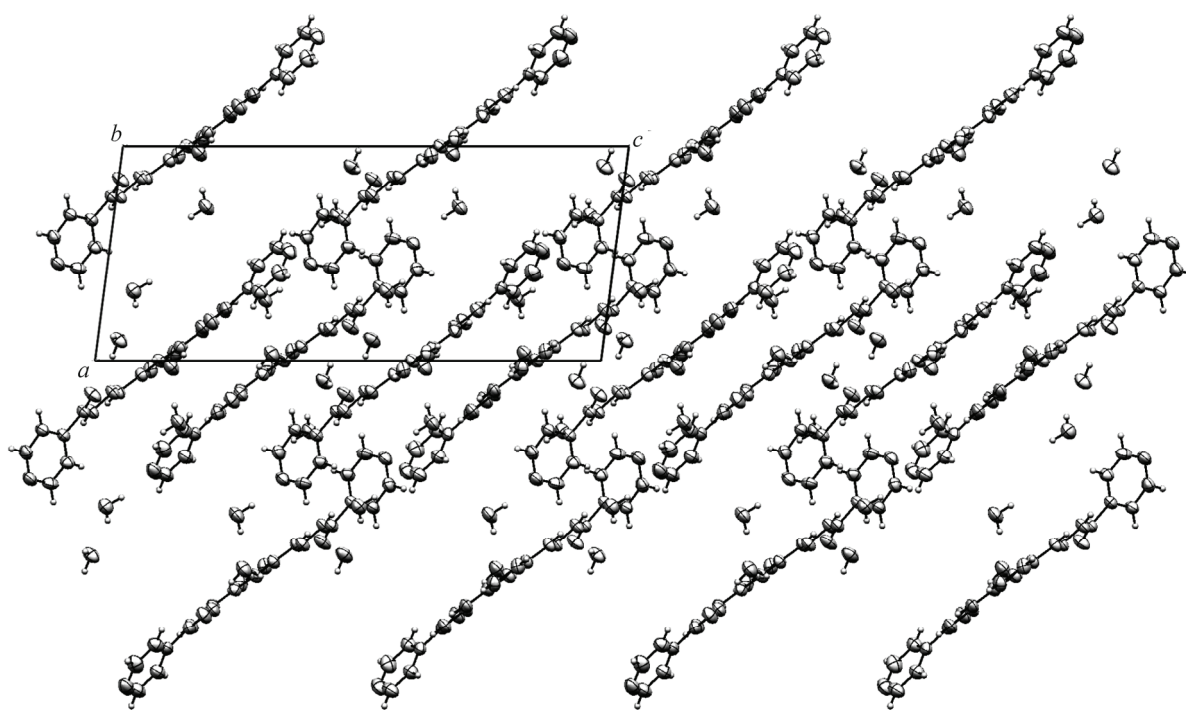


Рис. 2. Упаковка молекул в монокристалле гидразона 1 (вид вдоль кристаллографической оси *b*)

метрии и полной энергии основных таутомерных форм гидразона 1: гидразонной **1a**, моно- и дважды енолизированных (α -оксиазинных) **1b** и **1c** (рис. 3).

В вакууме наиболее устойчива конформация таутомера **1a'**, полученная из формы **1a**, соответствующей строению молекулы по данным РСА, в результате разворота гидразонных фрагментов на 180° относительно связей N(2)—N(3) и N(5)—N(6) (рис. 4). Полная энергия последней при этом очень близка к энергии обеих α -оксиазинных форм, стабилизированных за счет образования внутримолекулярных водородных связей и наличия протяженной цепи сопряженных связей [24].

В водном растворе наиболее устойчива конформация таутомера **1a**, соответствующая строению молекулы по данным РСА; α -оксиазинные формы **1b** и **1c** дестабилизированы относительно нее на 7,65 и 7,01 ккал/моль соответственно, а имеющая меньший дипольный момент, чем **1a**, гидразонная форма **1a'** — на 7,08 ккал/моль. Таким образом, гидразонная таутомерная форма в любом случае оказывается более устойчивой, чем α -оксиазинные таутомеры.

Оптимизированная геометрия гидразонной формы **1a** как в вакууме, так и в водном растворе весьма близка к структуре в кристалле. Некоторые отличия имеют место лишь для длин связей в гидразонном фрагменте, что обусловлено перераспределением электронной плотности в результате образования водородных связей. Пиридиновые кольца развернуты относительно плоскости пиррольного цикла на $35,88$ и $38,48^\circ$ в вакууме и в воде соответственно. Енолизация

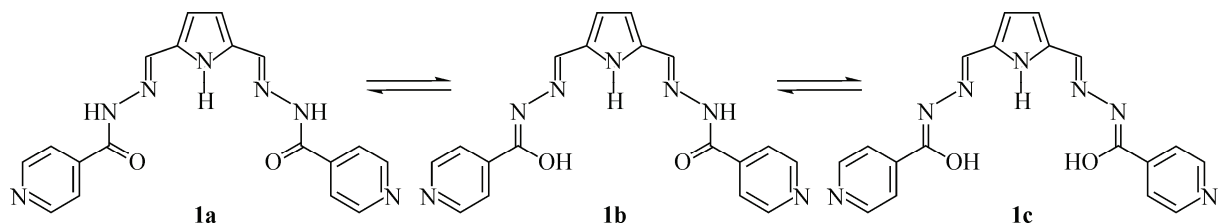


Рис. 3. Таутомерные формы бис-гидразона 1

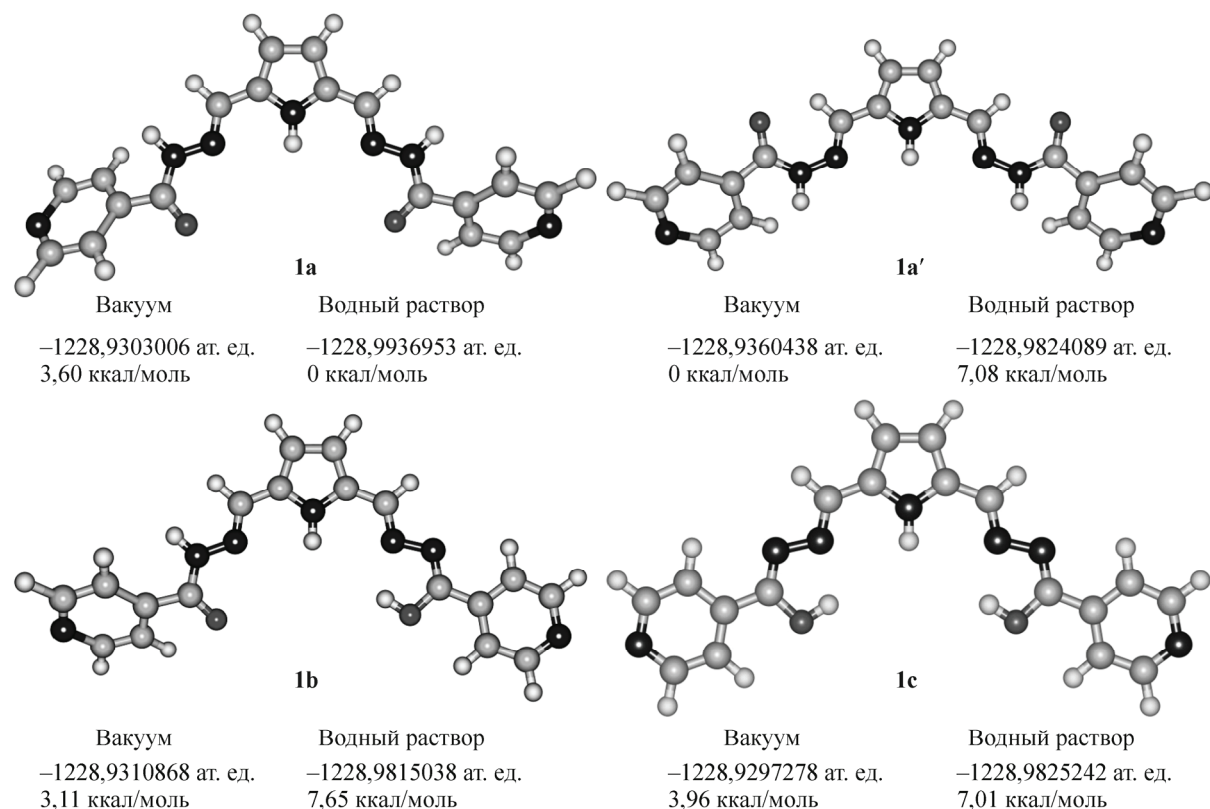


Рис. 4. Молекулярное строение (в вакууме), полная энергия (ат. ед., хартри) и относительная устойчивость (ккал/моль) таутомерных форм гидразона **1** в вакууме и в водном растворе

гидразонного фрагмента приводит к тому, что пиридиновое кольцо становится копланарным пиррольному, вследствие чего молекула дважды енолизированного таутомера **1c** является практически плоской.

Для интерпретации ИК-спектра бис-гидразона **1** был проведен расчет фундаментальных колебаний молекулы таутомера **1a**. При расчете колебательных спектров для фундаментальных частот колебаний использовали множитель 0,9679, рекомендованный в работе [25] для базиса

Таблица 3

*Рассчитанный (для таутомера **1a'**) и экспериментальный ИК спектр соединения **1***

Тип колебаний	Эксперимент*, ν , cm^{-1}	Расчет	
		ν , cm^{-1}	Интенсивность
v(NH) пиррольн.	3457 ср	3499	67
v(NH) гидразон.	3209 сл	3394	10
v(CH) аром.	3080—3050 сл	3075, 3050	11, 29
v(CH) азометин.	2961 сл	2944	18
v(C=O)+ δ (NH) ("амид-1")	1646 с	1710	531
v(C=N) азометин.	1610 с	1614, 602	101, 36
v(C=N)+v(C=C) гетероцикл.	1601 с, 1580 с	1578, 1539	62, 92

* Для обозначения экспериментальных интенсивностей полос используются сокращения: с — сильная;ср — средняя; сл — слабая.

6-311+G(*d,p*). Отнесение колебаний, вычисленные и экспериментальные частоты колебаний приведены в табл. 3.

Таким образом, впервые выполнено рентгеноструктурное исследование *бис*-гидразона 2,5-дiformилпиррола и квантово-химическое моделирование его тautомерных форм, результаты которого сопоставлены с данными PCA.

СПИСОК ЛИТЕРАТУРЫ

1. Попов Л.Д., Морозов А.Н., Щербаков И.Н. и др. // Успехи химии. – 2009. – **78**, № 7. – С. 697 [англ.: Popov L.D., Morozov A.N., Shcherbakov I.N. et al. // Russ. Chem. Rev. – 2009. – **78**, N 7. – P. 642].
2. Stadler A.M., Harrowfield J. // Inorg. Chim Acta. – 2009. – **362**, N 12. – P. 4298.
3. Pandeya S.N., Dimmock J.R. // Pharmazie. – 1993. – **48**, N 9. – P. 659.
4. Rollas S., Küçükgüzel Ş.G. // Molecules. – 2007. – **12**, N 8. – P. 1910.
5. Коган В.А., Левченков С.И., Попов Л.Д., Щербаков И.Н. // Росс. хим. журн. – 2009. – **53**, № 1. – С. 86 [англ.: Kogan V.A., Levchenkov S.I., Popov L.D., Shcherbakov I.N. // Russ. J. Gen. Chem. – 2009. – **79**, N 1. – P. 2767].
6. Ianelli S., Nardelli M., Pelizzi C. // Gazz. Chim. Ital. – 1985. – **115**. – P. 375.
7. Alonso R., Bermejo E., Carballo R. et al. // J. Mol. Struct. – 2002. – **606**, N 1-3. – P. 155.
8. Сафоклов Б.Б., Атовмян Е.Г., Никонова Л.А. и др. // Изв. АН. Сер. хим. 2002. – **51**, № 12. – С. 2065 [англ.: Safoklov B.B., Atovmyan E.G., Nikonova L.A. et al. // Russ. Chem. Bull. – 2002. – **51**, N 12. – P. 2224].
9. Wardell S.M.S.V., De Souza M.V.N., Wardell J.L. et al. // Acta Crystallogr. – 2006. – **C62**, N 1. – P. o47 – o49.
10. Bacchi A., Bonardi A., Carcelli M. et al. // J. Inorg. Biochem. – 1998. – **69**, N 1-2. – P. 101.
11. Книжников В.А., Борисова Н.Е., Юрасевич Н.Я. и др. // Журн. орган. химии. – 2007. – **43**, № 6. – С. 858 [англ.: Knizhnikov V.A., Borisova N.E., Yurashevich N.Ya. et al. // Russ. J. Org. Chem. – 2007. – **43**, N 6. – P. 855].
12. Bruker APEX2 Software Package, Bruker AXS, Madison, 2005.
13. Sheldrik G.M. SADABS, Program for Scanning and Correction of Area Detector Data, Göttingen University, Göttingen, Germany, 2004.
14. Sheldrick G.M. // Acta Crystallogr. A. – 2008. – **64**, N 1. – P. 112.
15. Frisch M.J., Trucks G.W., Schlegel H.B. et al. Gaussian 03, Revision D.01. Gaussian, Inc., Wallingford CT, 2004.
16. Stephens P.J., Devlin F.J., Chabalowski C.F., Frisch M.J. // J. Phys. Chem. – 1994. – **98**, N 45. – P. 11623.
17. Becke A.D. // J. Chem. Phys. – 1993. – **98**, N 7. – P. 5648.
18. Lee C., Yang W., Parr R.G. // Phys. Rev. B. – 1988. – **37**, N 2. – P. 785.
19. Miertus S., Scrocco E., Tomasi J. // Chem. Phys. – 1981. – **55**, N 1. – P. 117.
20. Cammi R., Tomasi J. // J. Comput. Chem. – 1995. – **16**, N 12. – P. 1449.
21. Zhurko G.A., Zhurko D.A. Chemcraft version 1.6 (build 338): <http://www.chemcraftprog.com>.
22. Shoukry A.A., Shoukry M.M. // Spectrochim. Acta. A. – 2008. – **70**, N 3. – P. 686.
23. Попов Л.Д., Аскалепова О.И., Левченков С.И., Коган В.А. // Журн. неорган. химии. – 2007. – **52**, № 4. – С. 686 [англ.: Popov L.D., Askalepova O.I., Levchenkov S.I., Kogan V.A. // Russ. J. Inorg. Chem. – 2007. – **52**, N 4. – P. 626].
24. Слизнев В.В., Гиричев Г.В. // Журн. структур. химии. – 2011. – **52**, № 1. – С. 22 [англ.: Sliznev V.V., Girichev G.V. // J. Struct. Chem. – 2011. – **52**, N 1. – P. 16].
25. Anderson M.P., Uvdal P. // J. Phys. Chem. A. – 2005. – **109**, N 12. – P. 2937.